飞行器的抗辐射屏蔽方法研究

查元梓 ¹ 罗文芸 ¹ 王朝壮 ¹ 徐加强 ² 王传珊 ¹ (上海大学射线应用研究所 上海 201800) ² (中国科学院上海应用物理研究所 上海 201800)

摘要 空间辐射环境是飞行器失效的主要原因之一,由于空间辐射环境的复杂性,以及飞行器在空间活动的 轨道和设计的寿命不同,飞行器需要的抗辐射屏蔽也不同。我们以卫星的地球同步轨道上的电子能谱,对卫星简化模型进行了抗辐射屏蔽的 Monte-Carlo 计算,并对计算结果进行了实验验证,在此基础上提出一种新的 抗辐射屏蔽方法。

关键词 电子束,飞行器,抗辐射屏蔽,蒙特卡罗模拟中图分类号 O571.33, V520.6, X34

空间飞行器处于宇宙射线、太阳质子暴发以及 围绕地球的电磁俘获带等辐射环境的包围中,这是 导致飞行器元器件失效乃至飞行器事故的主要原因。

对于地球轨道飞行器构成最大威胁的辐射带, 是位于赤道上空的内外范艾伦辐射带,主要由 10-100MeV 质子与 0.4-7MeV 电子组成,在地球同步 轨道上,卫星的辐射剂量主要由电子贡献。

电子本身较易于屏蔽,但电子与物质相互作用产生的轫致辐射不易屏蔽。轫致辐射通常又称为背景辐射,其辐射能量与靶材料的原子序数的平方和入射粒子的能量成正比,且加厚屏蔽材料不能使轫致辐射明显减弱^[1]。在空间飞行器辐射屏蔽设计中,主要考虑降低背景辐射的水平,即降低轫致辐射的产额。

为保证空间飞行器的可靠性,必须进行抗辐射加固。在此领域中,我国已开展多年并取得大量成果,包括屏蔽材料和屏蔽方法的不断优化。美国空间电子中心发展了 Rad-pakTM 和 Rad-coatTM 管壳涂覆技术^[2],现已商业化应用。

本工作就屏蔽材料及其排列顺序,用蒙特卡罗 法进行计算研究和实验研究,以期在不增加飞行器 额外重量的情况下,通过调整其屏蔽材料的排列顺 序而增强其屏蔽效果。

1 屏蔽材料

通常用于屏蔽电子的轻材料与重材料各有优缺

点,对于相同的面密度,重材料能更有效的阻止电子,轻材料则产生较少的轫致辐射。图 1 为地球静止轨道环境下等效厚度铝与铅吸收体的剂量-深度分布曲线^[3]。鉴于两种类型材料的优缺点,往往将两种类型材料结合使用。

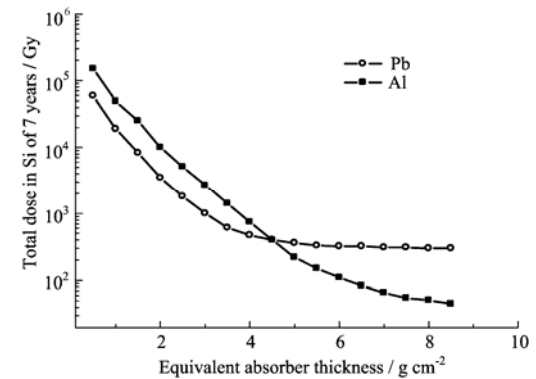


Fig.1 Depth-dose distribution in Al and Pb with electrons in the geosynchronous orbit

为使空间飞行器结构轻型化,常使用轻重材料结合的多层屏蔽结构形式^[4],抗辐射涂层即其技术途径之一。飞行器外壳材料为铝,在外壳上涂覆重金属涂层。从其剂量-深度分布曲线(图 2)可知,同样厚度的钨或铅屏蔽电子时,钨的能量沉积更多,屏蔽效果优于铅。而且,钨更易加工成纳米粉末。因此,铝外壳涂覆钨涂层,更为可取,这是本文屏蔽效果计算的主要材料。

国家自然科学基金(10305012)资助

第一作者: 查元梓, 女, 1983 年 11 月出生, 2000 年毕业于北京印刷学院, 现为上海大学环境与化学工程学院射线应用研究 所硕士研究生

收稿日期: 初稿 2006-01-19, 修回 2006-03-06

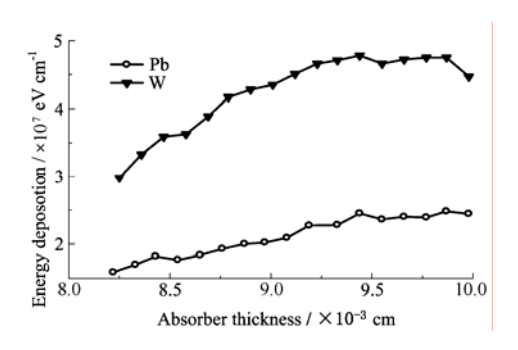


Fig.2 Depth-dose distribution in Pb and W with electrons of 1MeV

2 模拟计算与实验验证

基于 Monte-Carlo 方法的 PENELOPE 软件包(Penetration and energy loss of positrons and electrons) $^{[5]}$,可有效模拟电子与物质的相互作用。该程序计算结果包括穿过靶材料的剩余电子和二次粒子(包括电子、正电子和光子)的能谱,以及在靶材料中的能量和电荷沉积等参数。本文针对 1mm 铝合金(等效厚度为 $0.27g/cm^2$)涂覆 $250\mu m$ 钨粉聚氨酯涂层材料(等效厚度为 $0.16g/cm^2$),用 PENELOPE 模拟其对飞行器的屏蔽效果。

2.1 单能条件下屏蔽效果模拟

采用 1MeV 单能电子入射时,模拟粒子数为 10 万个,模拟了在铝壳+外涂层(Outside-coated Al)、铝壳+内涂层(Inside-coated Al)以及等效厚度铝壳(0.43g/cm²,厚 1.6mm)的屏蔽效果(见图 3)。1.6mm 纯铝壳的透射电子数为入射电子数的 3.5%;铝壳+外涂层的透射电子数为入射电子数的 0.62%;铝壳+内涂层的透射电子为零,可见涂层有明显的屏蔽效果,而铝壳+内涂层的屏蔽效果更佳。

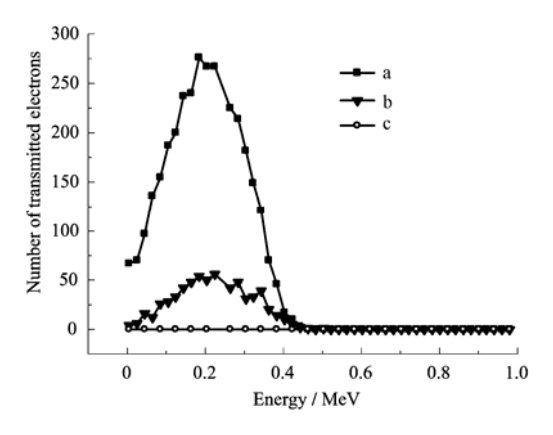


Fig.3 Calculated energy spectra of 1MeV electrons transmitted from different Al shieldings a: 0.43g/cm² Al, b: 0.27 g/cm² Al with 0.16 g/cm² outside coatings (W + polyurethane), c: 0.27 g/cm² Al with 0.16 g/cm² inside coatings (W + polyurethane)

图 4 轫致辐射透射光子的计算结果,铝壳+外涂层的透射光子较多,平均为 0.079 个光子/入射电子;铝壳+内涂层则为 0.026 个光子/入射电子,约为前者的 1/3;等效厚度铝层为 0.024 个光子/入射电子。

由单能光子的透射电子与透射光子模拟计算, 涂层铝比等效厚度铝屏蔽效果好,且不同涂层面位 置的屏蔽效果有显著差异,铝壳+内涂层的屏蔽效 果更好。此结果可由下述实验验证。

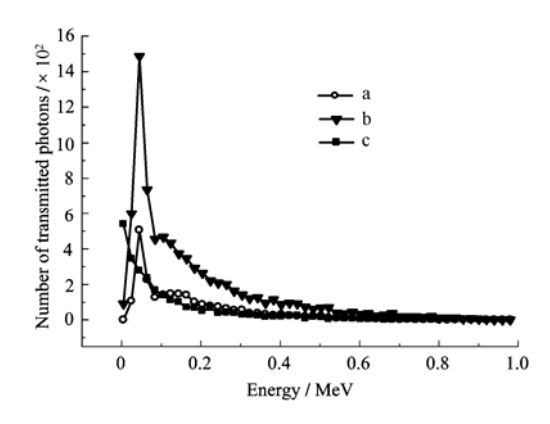


Fig.4 Calculated energy spectra of the 1MeV electrons- induced photons transmitted from different Al shieldings a: 0.27 g/cm² Al with 0.16 g/cm² inside coatings (W + polyurethane), b: 0.27 g/cm² Al with 0.16 g/cm² outside coatings (W + polyurethane), c: 0.43g/cm² Al

2.2 单能条件下的实验验证

验证实验在 β 磁谱仪上进行,装置图如图 5。 采用的 β 放射源为 90 Sr- 90 Y 同位素源,其电子能谱是连续谱(<2.7MeV),可由均匀磁场获得单一能量电子。该 β 源的半衰期为 30a,本实验期间衰变引起的源强变化可忽略不计。对于铝壳+外涂层或铝壳+内涂层,1MeV 电子的透射光子谱如图 6。

上述模拟与实验均基于单一电子能量条件,下 文将以空间能谱为基础进行屏蔽效果模拟。

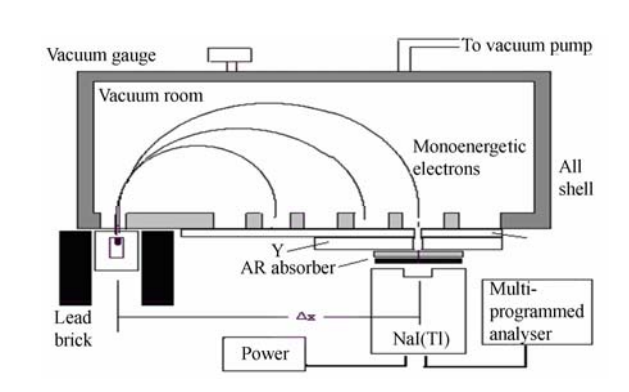


Fig.5 Schematics of the magnetic β spectrometer for experimental study of the shielding effect

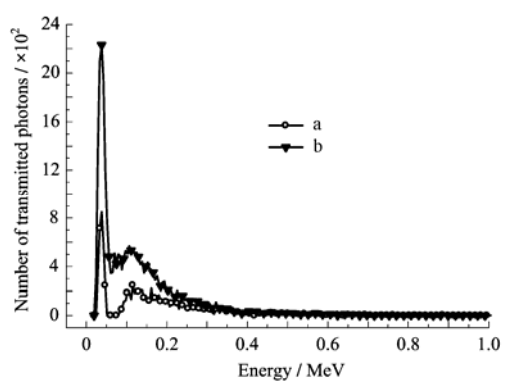


Fig.6 Energy spectra of the 1MeV electrons-induced photons transmitted from different Al shieldings a: 0.27 g/cm² Al with 0.16 g/cm² inside coatings (W + polyurethane), b: 0.27 g/cm² Al with 0.16 g/cm² outside coatings (W + polyurethane)

2.3 能谱条件下屏蔽效果

模拟飞行器为地球同步轨道卫星,采用地球同步轨道中的 AE8 (美国宇航局提供的俘获带电子环境模型) 电子能谱 (见图 7)。该能谱的电子在上述铝壳+外涂层和铝壳+内涂层中产生光子的透射谱如图 8,模拟的粒子数为 100 万个。它们的屏蔽效果与采用单能电子模拟得到的结果趋势一致。

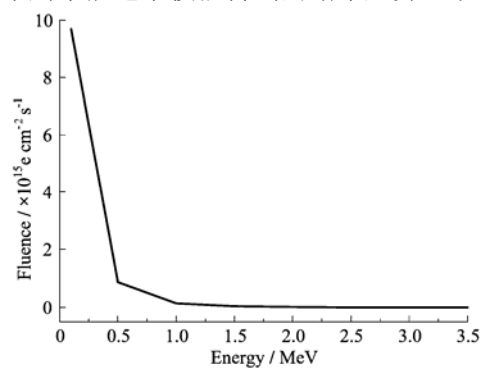


Fig.7 AE8 electron spectra of the geosynchronous orbit

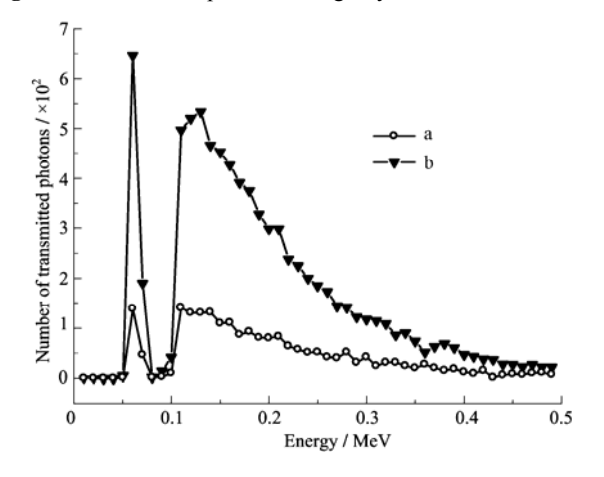


Fig.8 Calculated energy spectra of the AE8 electrons-induced photons transmitted from different Al shieldings a: 0.27 g/cm² Al with 0.16 g/cm² inside coatings (W + polyurethane), b: 0.27 g/cm² Al with 0.16 g/cm² outside coatings (W + polyurethane)

3 结果与讨论

本文的模拟计算表明,空间飞行器的抗辐射屏 蔽涂层材料应选择钨,即钨纳米粉末与聚氨酯涂层 涂覆在铝层上。

计算表明: 0.27 g/cm² 厚的铝与 0.16 g/cm² 含钨涂层能有效的屏蔽大部分空间轨道的电子。涂层在铝壳外,综合屏蔽效果略好于等效厚度的铝层,对电子的屏蔽效果明显好于等效厚度的铝层,产生的轫致辐射水平相当;涂层在铝壳内,其综合屏蔽效果相当于 3 倍厚度的铝层^[6] (图 3-图 4)。β 磁谱仪的验证(见图 6)显示了一个标准的轫致辐射谱,连续谱上的叠加峰峰位在 0.03MeV 左右。不同排序的屏蔽层的透射能谱的面积差别很大,即透过屏蔽层的能量沉积差别很大,可用电子在材料中的轫致辐射规律来解释。

用 AE8 地球同步轨道的电子能谱对上述屏蔽层计算,得到的透射光子能谱显示了与 1MeV 电子入射条件下类似的规律。由于有高能电子入射,叠加峰位置为 0.06MeV 左右。不同屏蔽材料排序的透射能谱面积比也差数倍。

在铝质飞行器壳体(或仪器盒)内表面涂覆重金属材料涂层,可更有效地抗辐射。铝层慢化射线时产生较少的轫致辐射;射线进入涂层时,高序原子的背散射系数大,而背散射的能量又被壳体吸收。传统上,抗辐射涂层涂于壳体外表面,但只要将涂层置于壳体内表面,就可在不增加任何成本的基础上,大大提高其抗辐射效果。欧洲宇航局报告[6]中曾提到飞行器屏蔽材料的合理排序能产生3倍的屏蔽效果,而不当的排序则甚至能抵消屏蔽效果。本文研究结果支持这一结论。

在飞行器屏蔽设计中,除考虑空间辐射电离效应外,其非电离的部分在一定条件下也很重要,有必要对空间辐射的非电离能损(NIEL)研究进行深入的探讨。

致谢 感谢同济大学陈玲燕教授等对本文实验的帮助。

参考文献

- 1 徐加强, 王传珊. 上海大学学报(自然科学版), 2003, **9**(3): 259-263
 - XU Jiaqiang, WANG Chuanshan. Journal of Shanghai University(Science edition), 2003, 9(3): 259-263
- 2 Millward D G, Strtobel D J. The effectiveness of RAD-PAKTM IC's for space radiation hardening. Proc. of 40th ECTC conference, Las Vega, May 1990

- 3 于庆奎, 唐民, 赵大鹏, 等. 第五届卫星抗辐射加固技术学术交流文集. 航天科技集团公司. 2004, 70-74 YU Qingkui, TANG Ming, ZHAO Dapeng, *et al.* Fifth session of satellite anti-radiation reinforcement technology academic exchange anthology. China Aerospace Science and Technology Corporation. 2004, 70-74
- 4 Santoro R T, Alsmiller R G, Barnes J M, *et al.* Martin Marietta Michoud Aerospace, New Orleans, LA.1986
- 5 罗文芸, 王传珊, 黄伟. 上海大学学报(自然科学版), 1996, **5**(3): 213-217 LUO Wenyun, WANG Chuanshan, Huangwei. Journal of Shanghai University(Science edition), 1996, **5**(3):
- 6 Clive S Dyer, Gordon R Hopkinson. QinetiQ Space Department and Sira Electro - optics Ltd, document reference DERA/KIS/SPACE/TR010690/1.0, June 2001

Anti-radiation shielding method of spacecraft

213-217

ZHA Yuanzi¹ LUO Wenyun¹ WANG Chaozhuang¹ XU Jiaqiang² WANG Chuanshan¹

(Shanghai Applied Radiation Institute, Shanghai University, Shanghai 201800)

(Shanghai Institute of Applied Physics, Chinese Academy of Sciences, Shanghai 201800)

ABSTRACT The radiation environment of space accounts much for spacecrafts' invalidation. Anti-Radiation shielding methods depend on the environment of space radiation and spacecrafts' orbital altitudes as well as their life expectancy. Energy spectra of the geosynchronous orbit and Monte-Carlo simulation calculation are used in simulating simple satellite model's shielding effects. Our calculation results are supported by experiments. A new view on anti-radiation shield design is then presented.

KEYWORDS Electron beam, Spacecraft, Anti-Radiation shield, Monte-Carlo simulation **CLC** O571.33, V520.6, X34